

**COMITATO NAZIONALE PER L'ENERGIA NUCLEARE  
Laboratori Nazionali di Frascati**

**LNF-62/108**

**G. Sette: INTEGRALI NELLO SPAZIO DELLE FASI PER SISTEMI  
DI DUE E TRE PARTICELLE.**

**Nota interna: n° 175  
20 Dicembre 1962.**

Laboratori Nazionali di Frascati del C.N.E.N.  
Servizio Documentazione

LNF-62/108

Nota interna: n° 175  
20 Dicembre 1962

G. Sette: INTEGRALI NELLO SPAZIO DELLE FASI PER SISTEMI DI DUE E TRE PARTICELLE.

1. - Energia massima di una particella nel sistema del bari-centro (s.b.) di  $(n+1)$  particelle.

Siano  $(n+1)$  particelle di energia  $E_0, E_1, E_n$  ed impulsi  $\vec{P}_0, \vec{P}_1, \dots, \vec{P}_n$ . Per una fissata energia totale  $W$  vogliamo trovare le configurazioni alle quali corrisponda un massimo per  $E_0$ . Ponendo (ora e nel seguito)  $c = 1$ , chiamiamo:

$$(1) \quad \alpha^2 = (W - E_0)^2 - \vec{P}_0^2 = (E_1 + \dots + E_n)^2 - (\vec{P}_1 + \vec{P}_2 + \dots + \vec{P}_n)^2$$

Una qualsiasi configurazione delle  $(n+1)$  particelle è cinematicamente equivalente ad un decadimento di una particella fittizia di massa  $a$  ed energia  $(W - E_0)$  nelle particelle  $1, 2, \dots, n$ , e ciò perché restano inalterate le relazioni sulle energie e sugli impulsi:  $\sum E = W$  e  $\sum \vec{p} = 0$ .

Da considerazioni ovvie nel sistema di riposo della particella si ha:

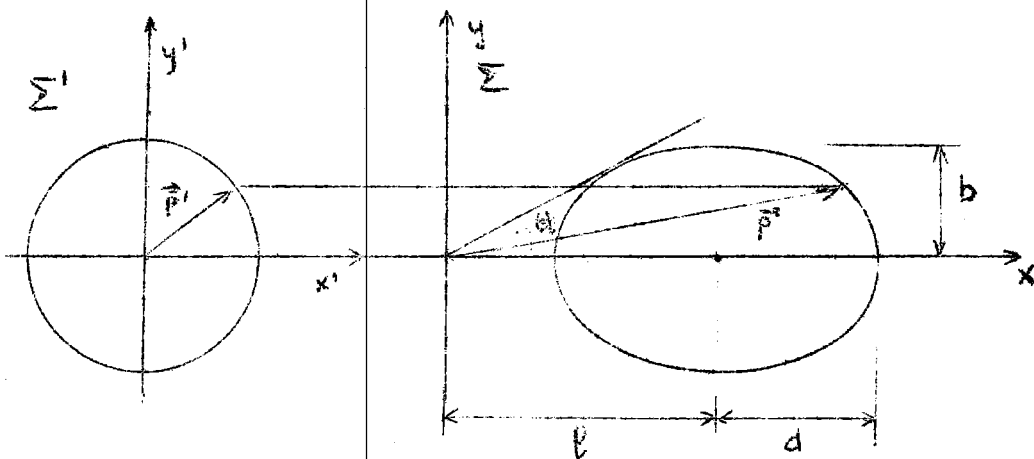
$$(2) \quad a \geq m_1 + m_2 + \dots + m_n$$

Essendo poi

$$a^2 = (W - E_0)^2 - p_a^2 = W^2 - 2E_0W + m_0^2$$

si ha che  $E_0$  è massimo quando  $a$  è minimo, cioè quando nella (2) si ha il segno di egualanza, e questo avviene quando nel sistema di quiete di  $a$  le particelle  $1, 2, \dots, n$  sono pure in quiete, cioè quando hanno la stessa velocità nel sistema reale del baricentro. Quindi  $E_0$  è massima per una fisata  $W$  quando le altre particelle vengono emesse come se fossero una sola.

2. - Richiamo sull'ellissoide degli impulsi



Con le solite considerazioni e notazioni, sia  $\beta_z$  la velocità relativa dei due sistemi  $\Sigma'$  e  $\Sigma$ . Si ha  $\gamma_r(p'_x + \beta_z E)$ , cioè  $\beta_x' = \frac{p_x'}{\gamma_r} - \beta_z E$ , quindi la  $p_x'^2 + p_y'^2 + p_z'^2 = p'^2$ , diventa:

$$(3) \quad (p_x - b)^2/d^2 + p_y^2/b^2 + p_z^2/b^2 = 1$$

ove

$$(4) \quad l = \beta_2 \gamma_2 E' , \quad d = \gamma_2 p' , \quad b = p' .$$

Dire che  $l \geq d$ , significa dire che  $\beta_2 \gamma_2 E' \geq \gamma_2 p'$ , cioè, essendo  $E' p' = p'$ ,  $\beta_2 \geq \beta'$ .

Supposto  $l \geq d$ , un calcolo analitico ovvio dà

$$\operatorname{sen} \theta_l = \frac{b}{\sqrt{l^2 - d^2 + b^2}}$$

e sostituendo le (4) si ha:

$$(5) \quad \operatorname{sen} \theta_l = \frac{\beta' \gamma'}{\beta_2 \gamma_2}$$

### 3. - Energie di due particelle nel loro s.b.

Si tratta di risolvere il sistema

$$\left\{ \begin{array}{l} W = E_1 + E_2 = m_1 \gamma_1 + m_2 \gamma_2 \\ \end{array} \right.$$

$$P_1 = P_2 = m_1 \gamma_1 \beta_1 = m_2 \gamma_2 \beta_2$$

Con semplici passaggi si ottiene:

$$(6) \quad \left\{ \begin{array}{l} E_1 = \frac{W}{2} \left( 1 + \frac{m_1^2 - m_2^2}{W^2} \right) \\ E_2 = \frac{W}{2} \left( 1 + \frac{m_2^2 - m_1^2}{W^2} \right) \\ P_1 = P_2 = \frac{W}{2} \left[ 1 + \frac{(m_1^2 - m_2^2)^2}{W^4} - 2 \frac{m_1^2 + m_2^2}{W^2} \right]^{1/2} \end{array} \right.$$

Per comodità successiva notiamo che

$$(7) \quad \frac{dE_1}{dW} = \frac{1}{2} \left( 1 + \frac{m_2^2 - m_1^2}{W^2} \right)$$

Posto:

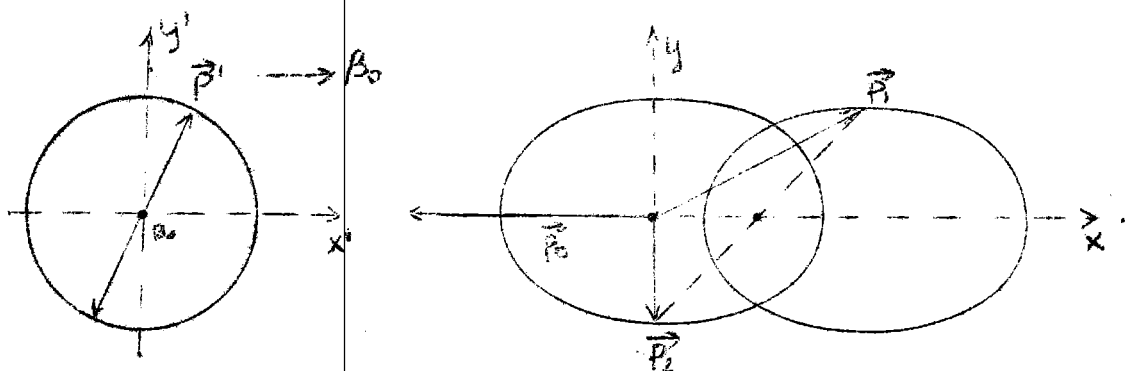
$$(8) \quad H = \left[ 1 - 2 \frac{m_1^2 + m_2^2}{W^2} + \frac{(m_1^2 - m_2^2)^2}{W^4} \right]$$

Si vede facilmente che

$$(9) \quad H = \left(1 - \frac{a_m^2}{W^2}\right)^2 + 4 \frac{m_1 m_2}{W^2} \left(1 - \frac{a_m^2}{W^2}\right)$$

ove  $a_m = m_1 + m_2$ , cioè il minimo nella (2).

#### 4. - Configurazione di un sistema di tre particelle nel s.b.



Sia  $W$  l'energia disponibile nel s.b. Fissato il momento  $\vec{p}_0$  vogliamo vedere come si distribuiscono gli altri due.

Consideriamo il sistema, cinematicamente equivalente, del decadimento della particella fictizia di massa (1). Nel sistema di riposo di questa particella l'energia totale a si distribuisce secondo le (6), e la sfera degli impulsi si trasforma in due ellisoidi:

$$(p_{ix} - b_i)^2/d^2 + p_{iy}^2/b^2 + p_{iz}^2/b^2 = 1 \quad (i=1,2)$$

ove dalle (4) e (6)

$$(10) \quad \left\{ \begin{array}{l} b_1 = \beta_0 \gamma_0 E_1 = \frac{p_0}{a} \quad E_1' = \frac{p_0}{2} \left(1 + \frac{m_1^2 - m_2^2}{a^2}\right) \\ b_2 = \frac{p_0}{a} \quad E_2' = \frac{p_0}{2} \left(1 + \frac{m_2^2 - m_1^2}{a^2}\right) \\ b^2 = p^2 = \frac{a^2}{4} H \\ d^2 = \gamma_0^2 p_0^2 = \frac{(W - E_0)^2}{a^2} \frac{a^2}{4} H = \frac{(W - E_0)^2}{4} H \end{array} \right.$$

ove  $H$  è data dalla (8) e (9) con  $a$  al posto di  $W$ . Ne segue che per  $a = a_{\min}$  si ha una sola configurazione, cioè l'ellissoide diventa un punto. Supposto poi  $m_2 > m_1$ , ed essendo

$$\ell_2 - \ell_{1m} = \frac{p_0}{2} \left( m_2^2 - m_1^2 \right) \left( \frac{1}{a_{\min}^2} - \frac{1}{a^2} \right)$$

Si vede che all'aumentare dell'energia  $W$  aumenta  $a$  ed aumenta  $\ell_1 - \ell_{1m}$ , cioè un ellissoide contiene il precedente.

5. - Volume nello spazio delle fasi per unità di energia per un sistema di due particelle nel s.b.

Nel s.b. il volume dello spazio delle fasi si definisce con

$$(11) \quad \int_{i=1}^{n-1} dp_{ix} dp_{iy} dp_{iz}$$

Ove l'impulso della particella  $n^{\text{esima}}$  si è eliminato tramite la  $\sum \vec{p} = 0$

Il volume per unità di energia totale è quindi:

$$(12) \quad f_n = \frac{d}{dW} \int_{i=1}^{n-1} dp_{ix} dp_{iy} dp_{iz}$$

Nel nostro caso  $n=2$ , quindi:

$$f_2 = \frac{d}{dW} \int dp_{ix} dp_{iy} dp_{iz}$$

ma  $\int dp_{ix} dp_{iy} dp_{iz} = \frac{4\pi}{3} p_i^3$  e quindi, essendo  $pdp = EdE$ ,

$$(13) \quad f_2 = \frac{d}{dW} \left( \frac{4\pi}{3} p_i^3 \right) = 4\pi p_i^2 \frac{dp_i}{dW} = 4\pi p_i E_i \frac{dE_i}{dW}$$

Quindi dalle (6) e (7) si ha:

$$(14) \quad g_2 = \frac{\pi}{2} W^2 H \left[ 1 - \frac{(m_1^2 - m_2^2)^2}{W^4} \right]$$

6. - Spettro degli impulsi per un sistema a tre particelle.

Il volume dello spazio delle fasi relativo alle configurazioni associate ad un impulso della particella 1 tra  $p_1$  e  $p_1 + dp_1$  è:

$$(15) \quad 4\pi p_1^2 dp_1 \int_{W_{\min}}^{W_{n-1}} dP_{1x} dP_{1y} dP_{1z},$$

ove  $4\pi p_1^2 dp_1$  è il contributo all'integrale (11) dovuto alla particella 1 e l'integrazione tra  $W_{\min}$  e  $W$  invece che tra 0 e  $W$  scaturisce dal fatto che esiste una energia minima per le configurazioni con fissato impulso  $p_1$ .

Il volume dello spazio delle fasi per unità di energia totale  $W$  o per unità di  $p_1$  è quindi:

$$(16) \quad \sigma_n = 4\pi p_1^2 \frac{d}{dW} \int_{W_{\min}}^{W_{n-1}} dP_{1x} dP_{1y} dP_{1z}$$

Per un sistema a tre corpi si ha semplicemente, in base alle conclusioni tratte alla fine del §(4) ed usandone le stesse notazioni:

$$(17) \quad \int_{W_{\min}}^W dP_{1x} dP_{1y} dP_{1z} = \int_{W_{\min}}^W dP_{2x} dP_{2y} dP_{2z} = \frac{4}{3}\pi b^2 d = V$$

e dalle (10) si ha  $V = \frac{\pi}{6} (W - E_0) a^2 H^{3/2}$  e con una derivazione ovvia ma non immediata si ha:

$$(18) \quad \frac{dV}{dW} = \frac{\pi}{6} H^{1/2} \left\{ 3(W - E_0)^2 \left[ 1 - \frac{(m_1^2 - m_2^2)^2}{a^4} \right] - p_0^2 H \right\}$$

e quindi

- 7 -

$$(19) \quad \sigma_3 = \frac{2}{3} \pi^2 p_0^2 H^{\frac{1}{2}} \left\{ 3(N-E_0)^2 \left[ 1 - \frac{(m_1^2 - m_2^2)^2}{a^4} \right] - p_0^2 H \right\}$$

Si ha poi

$$P_3 = \int_0^{P_{\max}} \sigma_3 dp_0$$

ove  $P_{\max}$  è dato, in base alle considerazioni del (1) dalla III. delle (6) ove  $m_1 \rightarrow m_0$  e  $m_2 \rightarrow m_1 + m_2$ .

### 7. - Invarianza di $dp_x dp_y dp_z / E$ .

Con le solite notazioni si ha:

$$(20) \quad \begin{cases} P_x = \gamma P'_x + \beta \gamma E' \\ P_y = P'_y \\ P_z = P'_z \\ E = \gamma E' + \beta \gamma P'_x \end{cases}$$

Differenziando con  $P'_y$  e  $P'_z$  costanti la 1° delle (20) e tenendo presente che  $E' dE' = P'_x dP'_x$  si ha:

$$dp_x = \gamma dP'_x + \beta \gamma dE' = \frac{dP'_x}{E'} (\gamma E' + \beta \gamma P'_x) = \frac{dP'_x}{E'} E$$

Cioè  $dp_x/E = dP'_x/E$ , ed essendo  $dP'_y = dP'_y$  e  $dP'_z = dP'_z$  si ha;

$$(21) \quad dp_x dp_y dp_z / E = \text{invariante}$$

In coordinate sferiche notiamo che:

$$(22) \quad dp_x dp_y dp_z = -p^2 dp d\cos\theta d\phi$$

8. - Richiami su alcune grandezze nel sistema del laboratorio.

Limitiamoci a processi di fotoproduzione; consideriamo un fotone di energia  $K$  che investe una particella di massa  $m_0$ . La velocità  $\beta_b$  del baricentro può facilmente determinarsi come segue: essendo  $p = \beta E$ , nel nostro caso  $p = K$  ed  $E = K + m_0$ , è quindi

$$(23) \quad \beta_b = \frac{K}{K + m_0}$$

L'energia disponibile  $W$  nel s.b. può ricavarsi dall'invariante  $E_{tot}^2 - p_{tot}^2 = W^2$ , nel nostro caso  $E_{tot}^2 - p_{tot}^2 = (K + m_0)^2 - K^2 = m_0(2K + m_0)$  quindi

$$(24) \quad W = \sqrt{m_0(2K + m_0)}$$

La grandezza  $\chi$  non è altro che l'incremento di massa dovuto al moto nel nostro caso quindi:

$$(25) \quad \chi_b = \frac{K + m_0}{W}$$

Come poteva ricavarsi con qualche calcolo da (23) e (24).

Se nel s.b. dopo la fotoproduzione si hanno due masse  $m_1$  ed  $m_2$  deve essere

$$(26) \quad W \geq m_1 + m_2$$

Se  $m_2 = m_0$  dalla (24) e (26) si ha l'energia di soglia per la fotoproduzione della particella di massa  $m_1$ :

$$(27) \quad K \geq K_s = m_1 + \frac{m_1^2}{2m_0}$$

Notiamo che nel caso di una reazione  $(K) + (m_0) \rightarrow (m_0) + (m_1)$ . Si hanno sempre angoli limiti per la particella  $(m_0)$ ; infatti affinché ciò si verifichi deve essere (secondo il § 2)):

$$\beta_c^* \leq \beta_b$$

(ove l'asterisco indica le grandezze nel s.b.), ma questa condizione implica:

$$\chi_c^* \leq \chi_b$$

e tramite la (6) e la (25);

$$\chi_c^* = \frac{E_0^*}{m_0} = \frac{W}{2m_0} \left( 1 + \frac{m_0^2 - m_1^2}{W^2} \right) \leq \frac{K + m_0}{W}$$

che è equivalente alla  $m_0(2K + m_0) + m_0^2 - m_1^2 \leq m_0(K + m_0)$ , cioè alla

$$m_1^2 \geq 0$$

che è sempre verificata.

#### 9. - Fattore statistico della particella $(m_0)$ nel s.t.

Il contributo alla distribuzione in angolo ed energia della particella  $(m_0)$  nel s.b. dovuto alla semplice estensione nello spazio delle fasi delle configurazioni in considerazione è:

$$\frac{\sqrt{3}}{4\pi} d \cos \theta^* d \phi^* d p_{\phi}^*$$

Consideriamo il caso  $m_1 = m_2 = m$  e ponendo  $\pi_3/4\pi = f^*(\theta, \phi^*, p_0^*)$   
si ha :

$$\begin{aligned}
 & f^*(\theta^*, \phi^*, p_0^*) d\cos\theta^* d\phi^* dp_0^* = \\
 & = \frac{\pi}{6} p_0^{*2} H^{\frac{1}{2}} \left\{ 3(W-E_0^*)^2 - p_0^{*2} H \right\} d\cos\theta^* d\phi^* dp_0^* = \\
 (28) \quad & = \frac{\pi}{6} E^* H^{\frac{1}{2}} \left\{ 3(W-E_0^*)^2 - (E_0^{*2} - m_0^2) H \right\} \frac{p_0^{*2} d\phi^* d\cos\theta^* dp_0^*}{E^*}
 \end{aligned}$$

Per trasformare questa espressione nel sistema del laboratorio, notiamo che per la (21) e (22) l'ultima frazione è invariante ed inoltre si ha dalla (23) e (25) :

$$E_0^* = \gamma_b (E_0 - p_b \rho \cos\theta) = \frac{K+m_0}{W} \left( E_0 - \frac{K}{K+m_0} p_b \cos\theta \right) = \frac{E_0(K+m_0)}{W} - \frac{K p_b \cos\theta}{W}$$

e posto

$$(29) \quad T = E_0 (K+m_0) - K p_b \cos\theta$$

si ha

$$(30) \quad E_0^* = T/W$$

e per  $H$  si ha l'espressione della (24),

$$(31) \quad H = \frac{1}{2} - \frac{\frac{4m}{(W-E_0^*)^2} - E_0^{*2} + m_0^2}{1 - \frac{2m^2}{m_0(K+m_0) - T}}$$

La 28 diventa quindi

$$f(\theta, \phi, p_0) d\cos\theta d\phi dp_0 = \frac{\pi}{6} \frac{T}{W^3} H^{\frac{1}{2}} \left\{ 3(W^2 - T)^2 - (T^2 - m_0^2 W^2) H \right\} \frac{p_0^2 d\phi d\cos\theta dp_0}{E_0}$$

Notando poi che  $p_0 d p_0 = E_0 d E_0$

si ha per la funzione di distribuzione in angolo ed energia:

$$(32) \quad f(\theta, \phi, E_0) = \frac{\pi}{6} p_0 \frac{T}{W^3} H^{\frac{1}{2}} \left\{ 3(W^2 - T)^2 - (T^2 - m_0^2 W^2) H \right\}$$

Notiamo che essendo  $T=WE^*$  e  $W>0$  e  $E_0^*>m_0$  è sempre

$$(33) \quad T > 0$$

Notiamo poi che dalla (8) ponendo  $m_1=m_2$  si ha

$$(34) \quad 0 \leq H < 1$$

e da questo si deduce che

$$\begin{aligned} \{3(W^2 - T)^2 - (T^2 - m_0^2 W^2) H\} &= W^2 \{3(W - E_0^*)^2 - p_0^{*2} H\} > W^2 \{3(W - E_0^*)^2 - p_0^{*2}\} = \\ &= W^2 \{2(W - E_0^*)^2 + a^2\} > 0 \end{aligned}$$

Quindi

$$(35) \quad f=0 \quad \text{quando e solo quando} \quad H=0$$

Ora  $H=0$  corrisponde per la (9) ad  $a=a_{\min}$  e cioè in base alle considerazioni del §(1) all'emissione delle due particelle ( $m$ ) con egual  $\beta^*$  fatto che coinvolge il massimo per l'impulso  $p_0^*$  ed in corrispondenza di questo si hanno i limiti sugli angoli ed energia della particella ( $m_0$ ) nel s.f.

Infatti esplicitando l'equazione  $H=0$ , tramite le (31) e (29), e tenendo presente che la (27) nel nostro caso si scrive

$$(36) \quad K_S = 2m + \frac{(2m)^2}{2m_0}$$

si ha l'equazione di 2° in  $E_0$ :

$$E_0^2 \left\{ K^2 \omega^2 \theta \left( K + m_0 \right)^2 \right\} + 2 E_0 \left( K + m_0 \right) m_0 \left[ \left( K - K_s \right) + 2m + m_0 \right] - m_0^2 \left[ \left( K - K_s \right) + 2m + m_0 \right]^2 - K^2 m_0^2 \cos^2 \theta = 0$$

Risolvendo questa equazione si ottiene:

$$(37) E_0 = m_0 \frac{\left( 1 + \frac{m_0}{K} \right) \left[ \left( 1 - \frac{K_s}{K} \right) + \frac{2m + m_0}{K} \right] \pm i \omega \theta \sqrt{\sin^2 \theta_e + \sin^2 \theta}}{\left( \frac{m_0}{K} \right)^2 + 2 \frac{m_0}{K} + \sin^2 \theta}$$

ove si è posto:

$$(38) \quad \sin^2 \theta_e = \left( 1 - \frac{K_s}{K} \right)^2 + \frac{4m}{K} \left( 1 - \frac{K_s}{K} \right)$$

Ovviamente dovendo essere nella (37) il radicando positivo si ha che la (38) è proprio l'espressione per l'angolo limite della particella ( $m_0$ ) in corrispondenza all'energia  $K$  del fotone incidente. Quindi per ogni angolo  $\theta < \theta_e(K)$  si ha che il protone può assumere tutte le energie comprese tra i due valori (37) in corrispondenza di ogni  $K$ .

Questo è proprio il campo di definizione della funzione  $f(\theta, \phi, E_0)$ .

Dette formule (32) e (37) esiste un programma per calcolatrice IBM 1960 elaborato dal Dr. A. Turrin.

Bibliografia:

- (1) - M. Block, Phase-Space Integrals for Multiparticle Systems Phys. Rev. 101, 796 (1956).
- (2) - R. Querzoli e V. Silvestrini, Studio cinematico del processo  $\gamma + p \rightarrow p + \pi^0$ , lab. Naz. di Frascati, Rapporto LNF.- 62/59 (1962).
- (3) - P.G. Sona, Cinematica delle reazioni relativistiche a due corpi, Lab. Naz. di Frascati, Rapporto LNF. - 57/9 (1957).
- (4) - A.M. Baldin, V.I. Gol'danskii, I.L. Rozenthal, Kinematics of nuclear reactions (Pergamon Press, London , 1961).

